

# Starkniederschlagshöhen und -spenden gemäß KOSTRA-DWD-2020

## Rasterfeld 70148

(Zeile 70, Spalte 148)

### Regenspende und Bemessungsniederschlagswerte in Abhängigkeit von Wiederkehrzeit T und Dauerstufe D

| Dauerstufe D |     | Wiederkehrzeit T |            |      |            |      |            |      |            |       |            |       |            |       |            |       |            |       |            |
|--------------|-----|------------------|------------|------|------------|------|------------|------|------------|-------|------------|-------|------------|-------|------------|-------|------------|-------|------------|
|              |     | 1 a              |            | 2 a  |            | 3 a  |            | 5 a  |            | 10 a  |            | 20 a  |            | 30 a  |            | 50 a  |            | 100 a |            |
| min          | Std | mm               | l / (s ha) | mm   | l / (s ha) | mm   | l / (s ha) | mm   | l / (s ha) | mm    | l / (s ha) | mm    | l / (s ha) | mm    | l / (s ha) | mm    | l / (s ha) | mm    | l / (s ha) |
| 5            |     | 6,4              | 213,3      | 7,8  | 260,0      | 8,6  | 286,7      | 9,8  | 326,7      | 11,4  | 380,0      | 13,1  | 436,7      | 14,2  | 473,3      | 15,6  | 520,0      | 17,7  | 590,0      |
| 10           |     | 8,0              | 133,3      | 9,7  | 161,7      | 10,8 | 180,0      | 12,3 | 205,0      | 14,3  | 238,3      | 16,4  | 273,3      | 17,8  | 296,7      | 19,6  | 326,7      | 22,2  | 370,0      |
| 15           |     | 9,1              | 101,1      | 11,1 | 123,3      | 12,3 | 136,7      | 13,9 | 154,4      | 16,2  | 180,0      | 18,7  | 207,8      | 20,2  | 224,4      | 22,3  | 247,8      | 25,2  | 280,0      |
| 20           |     | 9,9              | 82,5       | 12,1 | 100,8      | 13,4 | 111,7      | 15,2 | 126,7      | 17,7  | 147,5      | 20,4  | 170,0      | 22,1  | 184,2      | 24,3  | 202,5      | 27,6  | 230,0      |
| 30           |     | 11,2             | 62,2       | 13,6 | 75,6       | 15,1 | 83,9       | 17,1 | 95,0       | 20,0  | 111,1      | 23,0  | 127,8      | 24,9  | 138,3      | 27,5  | 152,8      | 31,1  | 172,8      |
| 45           |     | 12,6             | 46,7       | 15,4 | 57,0       | 17,1 | 63,3       | 19,3 | 71,5       | 22,6  | 83,7       | 25,9  | 95,9       | 28,1  | 104,1      | 30,9  | 114,4      | 35,1  | 130,0      |
| 60           | 1   | 13,7             | 38,1       | 16,7 | 46,4       | 18,6 | 51,7       | 21,0 | 58,3       | 24,5  | 68,1       | 28,2  | 78,3       | 30,5  | 84,7       | 33,7  | 93,6       | 38,1  | 105,8      |
| 90           | 1,5 | 15,4             | 28,5       | 18,8 | 34,8       | 20,9 | 38,7       | 23,6 | 43,7       | 27,6  | 51,1       | 31,7  | 58,7       | 34,4  | 63,7       | 37,9  | 70,2       | 42,9  | 79,4       |
| 120          | 2   | 16,7             | 23,2       | 20,4 | 28,3       | 22,7 | 31,5       | 25,7 | 35,7       | 30,0  | 41,7       | 34,4  | 47,8       | 37,3  | 51,8       | 41,1  | 57,1       | 46,6  | 64,7       |
| 180          | 3   | 18,8             | 17,4       | 23,0 | 21,3       | 25,5 | 23,6       | 28,9 | 26,8       | 33,7  | 31,2       | 38,7  | 35,8       | 42,0  | 38,9       | 46,2  | 42,8       | 52,4  | 48,5       |
| 240          | 4   | 20,4             | 14,2       | 24,9 | 17,3       | 27,7 | 19,2       | 31,4 | 21,8       | 36,6  | 25,4       | 42,0  | 29,2       | 45,6  | 31,7       | 50,2  | 34,9       | 56,9  | 39,5       |
| 360          | 6   | 23,0             | 10,6       | 28,0 | 13,0       | 31,1 | 14,4       | 35,2 | 16,3       | 41,1  | 19,0       | 47,2  | 21,9       | 51,2  | 23,7       | 56,4  | 26,1       | 63,9  | 29,6       |
| 540          | 9   | 25,8             | 8,0        | 31,5 | 9,7        | 35,0 | 10,8       | 39,6 | 12,2       | 46,2  | 14,3       | 53,0  | 16,4       | 57,5  | 17,7       | 63,4  | 19,6       | 71,8  | 22,2       |
| 720          | 12  | 28,0             | 6,5        | 34,2 | 7,9        | 38,0 | 8,8        | 43,0 | 10,0       | 50,2  | 11,6       | 57,6  | 13,3       | 62,5  | 14,5       | 68,8  | 15,9       | 78,0  | 18,1       |
| 1080         | 18  | 31,5             | 4,9        | 38,4 | 5,9        | 42,6 | 6,6        | 48,2 | 7,4        | 56,3  | 8,7        | 64,7  | 10,0       | 70,1  | 10,8       | 77,3  | 11,9       | 87,5  | 13,5       |
| 1440         | 24  | 34,2             | 4,0        | 41,7 | 4,8        | 46,3 | 5,4        | 52,4 | 6,1        | 61,2  | 7,1        | 70,2  | 8,1        | 76,2  | 8,8        | 83,9  | 9,7        | 95,1  | 11,0       |
| 2880         | 48  | 41,6             | 2,4        | 50,8 | 2,9        | 56,4 | 3,3        | 63,9 | 3,7        | 74,6  | 4,3        | 85,6  | 5,0        | 92,8  | 5,4        | 102,3 | 5,9        | 115,9 | 6,7        |
| 4320         | 72  | 46,8             | 1,8        | 57,0 | 2,2        | 63,4 | 2,4        | 71,7 | 2,8        | 83,7  | 3,2        | 96,1  | 3,7        | 104,3 | 4,0        | 114,9 | 4,4        | 130,1 | 5,0        |
| 5760         | 96  | 50,8             | 1,5        | 61,9 | 1,8        | 68,8 | 2,0        | 77,9 | 2,3        | 90,9  | 2,6        | 104,4 | 3,0        | 113,2 | 3,3        | 124,7 | 3,6        | 141,3 | 4,1        |
| 7200         | 120 | 54,1             | 1,3        | 66,0 | 1,5        | 73,3 | 1,7        | 83,0 | 1,9        | 96,9  | 2,2        | 111,3 | 2,6        | 120,7 | 2,8        | 133,0 | 3,1        | 150,6 | 3,5        |
| 8640         | 144 | 57,0             | 1,1        | 69,5 | 1,3        | 77,3 | 1,5        | 87,4 | 1,7        | 102,1 | 2,0        | 117,2 | 2,3        | 127,1 | 2,5        | 140,1 | 2,7        | 158,7 | 3,1        |
| 10080        | 168 | 59,6             | 1,0        | 72,7 | 1,2        | 80,7 | 1,3        | 91,4 | 1,5        | 106,7 | 1,8        | 122,5 | 2,0        | 132,8 | 2,2        | 146,4 | 2,4        | 165,8 | 2,7        |

# Starkniederschlagshöhen und -spenden gemäß KOSTRA-DWD-2020

## Rasterfeld 70148

(Zeile 70, Spalte 148)

### Örtliche Unsicherheiten in Abhängigkeit von Wiederkehrzeit T und Dauerstufe D

| Dauerstufe D |     | Wiederkehrzeit T |     |     |     |      |      |      |      |       |
|--------------|-----|------------------|-----|-----|-----|------|------|------|------|-------|
|              |     | 1 a              | 2 a | 3 a | 5 a | 10 a | 20 a | 30 a | 50 a | 100 a |
| min          | Std | ± %              | ± % | ± % | ± % | ± %  | ± %  | ± %  | ± %  | ± %   |
| 5            |     | 15               | 16  | 17  | 18  | 19   | 19   | 20   | 20   | 21    |
| 10           |     | 16               | 18  | 19  | 20  | 21   | 22   | 23   | 23   | 24    |
| 15           |     | 17               | 19  | 20  | 21  | 22   | 23   | 24   | 25   | 25    |
| 20           |     | 17               | 19  | 20  | 21  | 23   | 24   | 24   | 25   | 26    |
| 30           |     | 16               | 19  | 20  | 21  | 23   | 24   | 24   | 25   | 26    |
| 45           |     | 15               | 18  | 19  | 20  | 22   | 23   | 23   | 24   | 25    |
| 60           | 1   | 14               | 17  | 18  | 19  | 21   | 22   | 23   | 23   | 24    |
| 90           | 1,5 | 13               | 16  | 17  | 18  | 20   | 21   | 21   | 22   | 23    |
| 120          | 2   | 12               | 14  | 16  | 17  | 18   | 20   | 20   | 21   | 22    |
| 180          | 3   | 11               | 13  | 14  | 16  | 17   | 18   | 19   | 19   | 20    |
| 240          | 4   | 10               | 12  | 13  | 15  | 16   | 17   | 18   | 18   | 19    |
| 360          | 6   | 10               | 11  | 12  | 13  | 15   | 16   | 16   | 17   | 17    |
| 540          | 9   | 10               | 11  | 12  | 13  | 14   | 15   | 15   | 16   | 16    |
| 720          | 12  | 11               | 11  | 12  | 12  | 13   | 14   | 14   | 15   | 16    |
| 1080         | 18  | 12               | 12  | 12  | 12  | 13   | 14   | 14   | 14   | 15    |
| 1440         | 24  | 14               | 13  | 13  | 13  | 13   | 14   | 14   | 14   | 15    |
| 2880         | 48  | 17               | 16  | 15  | 15  | 15   | 15   | 15   | 15   | 16    |
| 4320         | 72  | 20               | 18  | 18  | 17  | 17   | 17   | 17   | 17   | 17    |
| 5760         | 96  | 21               | 20  | 19  | 19  | 18   | 18   | 18   | 18   | 18    |
| 7200         | 120 | 23               | 21  | 21  | 20  | 19   | 19   | 19   | 19   | 19    |
| 8640         | 144 | 24               | 22  | 22  | 21  | 20   | 20   | 20   | 20   | 20    |
| 10080        | 168 | 25               | 23  | 23  | 22  | 21   | 21   | 21   | 21   | 20    |

### Parameter für abweichende T und D

#### Lokationsparameter $\xi$ (Xi)

13,78503455

#### Skalenparameter $\alpha$ (Alpha)

4,20311974

#### Formparameter $\kappa$ (Kappa)

-0,1

#### 1. Koutsoyiannis-Parameter $\theta$ (Theta)

0,0076447

#### 2. Koutsoyiannis-Parameter $\eta$ (Eta)

0,71420045

Parameter für dauerstufenübergreifende Extremwertschätzung nach KOUTSOYIANNIS et al. 1998.

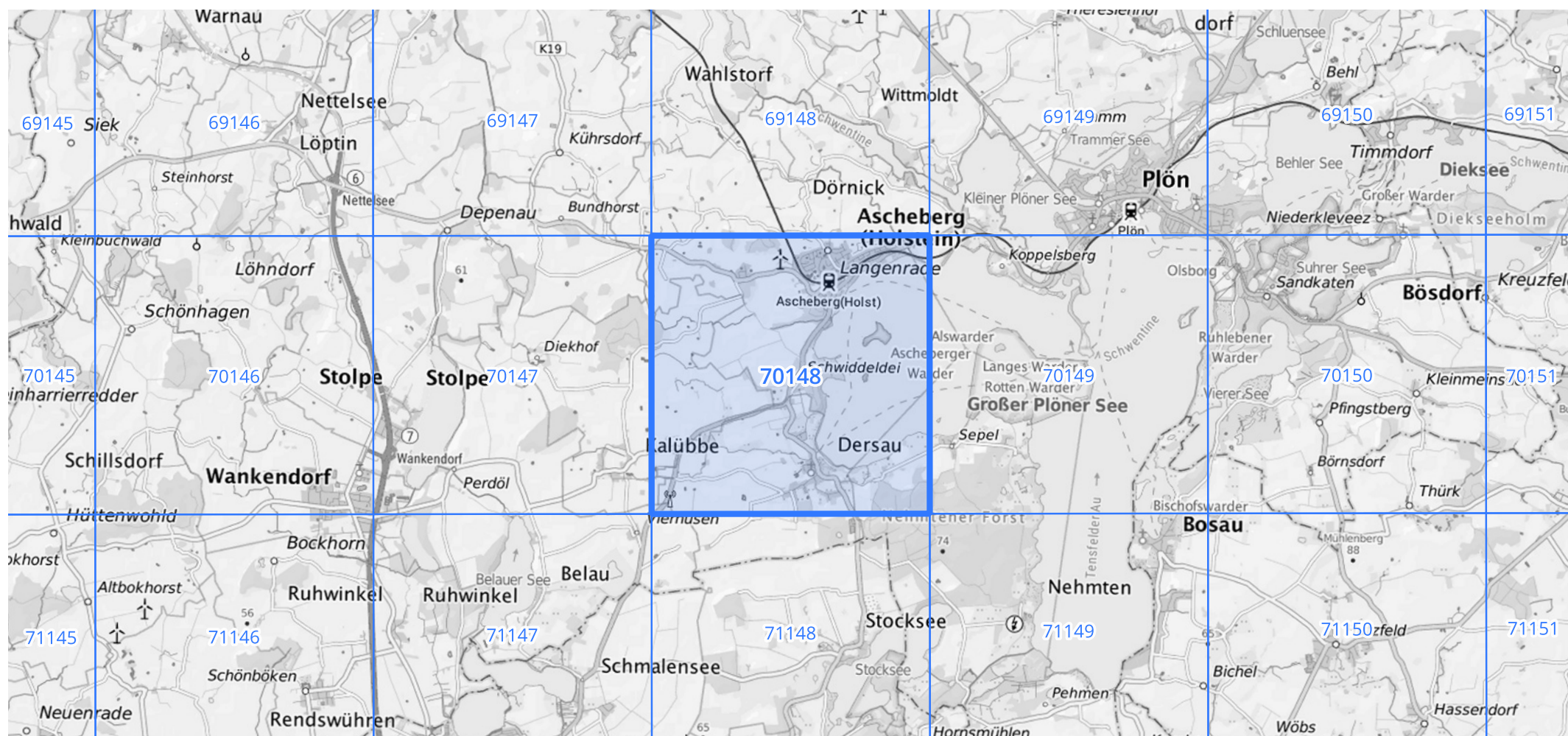
Siehe auch Anwendungshilfe zu KOSTRA-DWD-2020 des Deutschen Wetterdienstes.

# Starkniederschlagshöhen und -spenden gemäß KOSTRA-DWD-2020

## Rasterfeld 70148

(Zeile 70, Spalte 148)

### Übersichtskarte des Rasterfeldes 70148, M 1 : 100 000



Quelle Rasterdaten: KOSTRA-DWD-2020 des Deutschen Wetterdienstes, Stand 12/2022.

Seite 3 von 3

Kartendarstellung: © Bundesamt für Kartographie und Geodäsie (2023), Datenquellen: [https://sgx.geodatenzentrum.de/web\\_public/gdz/datenquellen/Datenquellen\\_TopPlusOpen.html](https://sgx.geodatenzentrum.de/web_public/gdz/datenquellen/Datenquellen_TopPlusOpen.html)

Für die Richtigkeit und Aktualität der Angaben wird keine Gewähr übernommen. Erstellt 01/2023.